



# Instrucciones de uso

## HWI-IFU

205 South 600 West Logan, Utah 84323, U.S.A. – Tel. (800) 729-8350 – Tel. (435) 755-9848 – Fax (435) 755-0015 – www.scytek.com Rev. 5, 7/20/2022

## Hematoxilina, el kit de hierro de Weigert

### Descripción y principio

La hematoxilina de hierro de Weigert está diseñada para ser utilizada con varios kits y procedimientos especiales de tinción como una tinción nuclear resistente a los ácidos. También se puede utilizar como tinción independiente para la visualización de núcleos. Este producto se suministra como un sistema de dos componentes (volúmenes iguales de las partes A y B) que se mezcla antes de su uso y da como resultado núcleos azules/negros.

La demostración rápida de los núcleos se logra mediante una solución no oxidada de hematoxilina acompañada de cloruro férrico que actúa como oxidante y mordiente para la hematoxilina.

### Resultados esperados

Núcleos: De azul a negro

### Contenido del kit

1. Hematoxilina, hierro de Weigert (Parte A)
2. Hematoxilina, hierro de Weigert (Parte B)

### Almacenamiento

18-25°C  
18-25°C

### Controles sugeridos (no incluidos)

Cualquier tejido bien fijado.

### Usos/Limitaciones

Solo para uso en diagnóstico in vitro.

No lo use si los reactivos se vuelven turbios o precipitan

No lo use después de la fecha de vencimiento.

Tenga cuidado al manipular reactivos.

No estéril

Diseñado para secciones FFPE cortadas a 5-10 µm.

Este procedimiento no se ha optimizado para secciones congeladas.

Las secciones congeladas pueden requerir una modificación del protocolo.

### Almacenamiento

Almacene todos los componentes a temperatura ambiente (18-25 °C).

### Seguridad y precauciones

Consulte las hojas de datos de seguridad (SDS) actuales para conocer la clasificación del SGA de este producto y componentes, los pictogramas y las declaraciones de peligro/precaución completas.

### Procedimiento:

1. Desparafinar secciones si es necesario e hidratar hasta obtener agua destilada.

2. Inmediatamente antes de usar, mezcle volúmenes iguales de la Parte A y la Parte B.

**Nota:** No reutilice la mancha mixta

3. Frote la tinte en hematoxilina combinada, hierro de Weigert durante 2-5 minutos.

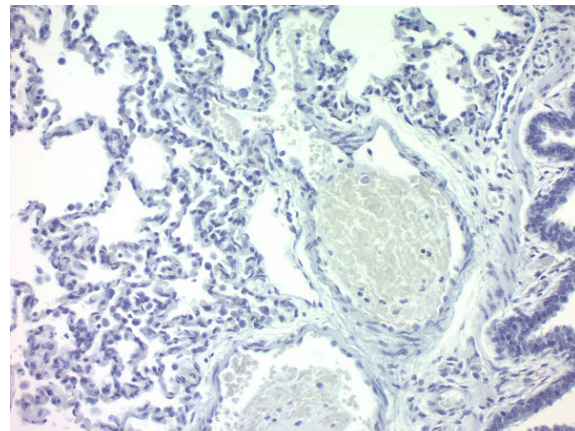
4. Enjuague durante 2 minutos en varios cambios de agua del grifo.

5. (Opcional) Sumerja el portaobjetos en un reactivo azulado (ScyTek Item# BRT) durante 30 segundos.

6. Enjuague la corredera en agua destilada.

7. Deshidratar en alcohol absoluto.


8. Transparente y montaje en resina sintética.



Nuclei in Pig Lung stained with Hematoxylin, Weigert's Iron Kit

### Referencias

1. Lin, Yi-Yuan, Jwo-Sheng Chen, Xu-Bo Wu, Woei-Cherng Shyu, Rungchai Chaunchaiyakul, Xian-Li Zhao, Chia-Hua Kuo, Yu-Jung Cheng, Ai-Lun Yang y Shin-Da Lee. "Efectos combinados del 17-estradiol y el entrenamiento físico en la apoptosis cardíaca en ratas ovariectomizadas". PLOS ONE 13, n.º 12 (20 de diciembre de 2018): e0208633. <https://doi.org/10.1371/journal.pone.0208633>.
2. Silva, João P., Sandeep Dhall, Monika Garcia, Alex Chan, César Costa, Miguel Gama y Manuela Martins-Green. "Mejora de la cicatrización de heridas por quemaduras gracias al péptido antimicrobiano LLKKK18 liberado de conjugados con dextrina incrustados en un gel de Carbopol". Acta Biomaterialia 26 (15 de octubre de 2015): 249-62. <https://doi.org/10.1016/j.actbio.2015.07.043>.
3. Chen, Mien-cheng, Jen-ping Chang, Tzu-hao Chang, Sheng-da Hsu, Hsien-da huang, Wan-chun Ho, Feng-Sheng Wang, Chang-Chun Hsiao y Wen-Hao Liu. "Desentrañando los mecanismos reguladores de la remodelación auricular de cerdos con regurgitación mitral mediante el análisis de perfiles de expresión génica: papel del antagonista del receptor de angiotensina II tipo I". Investigación Traslacional 165, no. 5 (1 de mayo de 2015): 599-620. <https://doi.org/10.1016/j.trsl.2014.11.005>.
4. Kim, H. M., Y. Y. Lim, M. Y. Kim, I. P. Son, D. H. Kim, S. R. Park, S. K. Seo, et al. "Efecto inhibidor de la tianeptina en la inducción de catágenos en lesiones similares a la alopecia areata inducidas por el estrés de ondas ultrasónicas en ratones". Dermatología Clínica y Experimental 38, no. 7 (2013): 758-67. <https://doi.org/10.1111/ced.12047>.
5. Okura, Hanayuki, Hiroshi Komoda, Ayami Saga, Aya Kakuta-Yamamoto, Yoko Hamada, Yuichi Fumimoto, Chun Man Lee, Akihiro Ichinose, Yoshiki Sawa y Akifumi Matsuyama. "Propiedades de los grupos de células similares a los hepatocitos de las células madre mesenquimales derivadas del tejido adiposo humano". Ingeniería de Tejidos Parte C: Métodos 16, no. 4 (19 de octubre de 2009): 761-70. <https://doi.org/10.1089/ten.tec.2009.0208>.

 ScyTek Laboratories, Inc.  
205 South 600 West  
Logan, UT 84321  
435-755-9848  
U.S.A.

   
  
Emergo Europe  
Prinsessegracht 20  
2514 AP The Hague, The Netherlands